

## O ESTIMADOR EMPÍRICO

---

Com base no comportamento apresentado pelo erro de iteração, é introduzido neste capítulo um novo estimador de erro: o estimador *empírico*. Para tanto, inicialmente são apresentadas as características do erro iterativo e as definições de ordem assintótica e efetiva. Em seguida discute-se sobre a estimativa do erro de iteração, onde são apresentados o conceito e expressões para o cálculo da ordem aparente da incerteza de soluções numéricas e a formulação do estimador.

### 3.1 CARACTERÍSTICAS DO ERRO DE ITERAÇÃO

Para exemplificar o efeito dos erros de iteração sobre o erro da solução numérica, considere-se o uso do método da iteração linear (MIL) (Barroso, 1987) na resolução da equação

$$x^2 - 5x + 6 = 0 \quad (3.1)$$

A solução numérica iterativa da Eq. (3.1) é tratada detalhadamente no capítulo 4. Este exemplo mostra a característica principal dos erros de iteração quando se aumenta o número de iterações: em geral, seu valor diminui em escala logarítmica e tende a uma inclinação constante. Isso pode ser observado na Fig. 3.1.

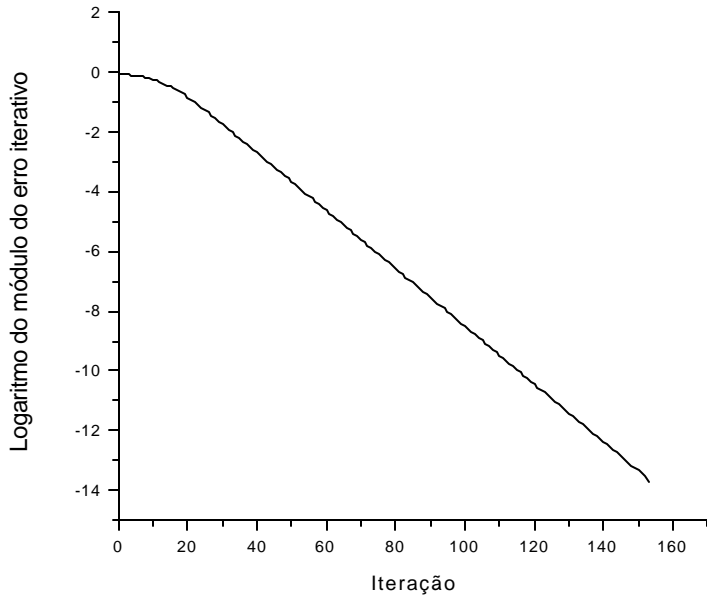


Figura 3.1 – Erro da solução numérica da Eq. (3.1), causado pe los erros de iteração.

Com base no fato de que o erro de iteração ( $E(\mathbf{f}_n)$ ) apresenta comportamento exponencial (Roy e Blottner, 2001), conforme ilustrado na Fig. 3.1, na base decimal, tem-se:

$$E(\mathbf{f}_n) = C 10^{-np_L} \quad (3.2)$$

onde  $p_L$  é a ordem assintótica do erro, ou seja, é a inclinação assintótica para a qual tende a curva do erro iterativo quando  $n \rightarrow \infty$ . Quanto maior é esta inclinação, maior é o valor da ordem e maior é a taxa de redução de  $E(\mathbf{f}_n)$  com o aumento de  $n$ . E ainda, para um mesmo número de iterações, menor é o erro.

Roy e Blottner (2001) consideram, por simplificação, que para  $n \rightarrow \infty$ , isto é, para um número infinito de iterações, o valor do coeficiente  $C$  na Eq. (3.2) é constante. Porém, para um caso prático qualquer, deve-se admitir que a forma geral do erro de iteração é dada pela Eq. (2.20). No entanto, quando o número de iterações ( $n$ ) é muito grande, o primeiro termo desta expressão é o principal componente, já que  $\mathbf{m}_1$  é o autovalor dominante da matriz iterativa, ou seja, o autovalor de maior magnitude (Ferziger e Peric, 1996). Isso possibilita uma aproximação para expressão geral do erro formada por um único termo.

### 3.1.1 Ordem efetiva

A ordem efetiva ( $p_E$ ) do erro de iteração é definida como a inclinação local da curva de  $E(\mathbf{f}_n)$  versus  $n$  num gráfico logarítmico. Matematicamente, a ordem efetiva ( $p_E$ ) é obtida a partir da Eq. (3.2), onde  $C$  é admitido ser independente de  $n$ . Considerando-se duas iterações  $n_1$  e  $n_2$ , com  $n_1 < n_2$ , tem-se:

$$\begin{cases} E(\mathbf{f}_{n_1}) = C 10^{-n_1 p_E} \\ E(\mathbf{f}_{n_2}) = C 10^{-n_2 p_E} \end{cases} \quad (3.3)$$

Do sistema (3.3), tem-se que:

$$p_E = \frac{\log \left[ \frac{E(\mathbf{f}_{n_1})}{E(\mathbf{f}_{n_2})} \right]}{n_2 - n_1} \quad (3.4)$$

## 3.2 ESTIMATIVA DO ERRO DE ITERAÇÃO

Pela Eq. (1.2), o valor do erro de iteração só pode ser calculado quando se conhece a solução exata do sistema de equações resultante da discretização. Mas em termos práticos isso não é possível. Conseqüentemente é necessário estimar qual é o valor da solução exata. A solução exata para o sistema de equações não é a solução analítica para a equação que rege o problema, pois o sistema é produto da discretização, ou seja, aproximações.

A incerteza iterativa ( $U(\mathbf{f}_n)$ ) de uma solução numérica é calculada pela diferença entre a solução exata estimada ( $\mathbf{f}_\infty$ ) para a variável de interesse e a sua solução numérica em uma iteração  $n$  ( $\mathbf{f}_n$ ):

$$U(\mathbf{f}_n) = \mathbf{f}_\infty - \mathbf{f}_n \quad (3.5)$$

Com base na Eq. (3.2), admite-se que

$$U(\mathbf{f}_n) = k 10^{-n p_U} \quad (3.6)$$

com  $k$  sendo constante e  $p_U$  indicando a ordem aparente, cujo valor explícito pode ser obtido pela Eq. (3.9).

### 3.2.1 Ordem aparente

A ordem aparente ( $p_U$ ) é definida como a inclinação local da curva de incerteza ( $U_n$ ) da solução numérica ( $\mathbf{f}_n$ ) *versus* o número de iterações ( $n$ ) num gráfico logarítmico. O valor para o qual as ordens efetiva e aparente tendem, quando se aumenta o número de iterações, é a *ordem assintótica* do erro iterativo ( $p_L$ ). Ela não é um resultado conhecido *a priori*, ou seja, é obtida somente através de experimentos numéricos.

Considerando-se as iterações  $n_1$ ,  $n_2$  e  $n_3$ , com  $n_1 < n_2 < n_3$ , e as Eqs. (3.5) e (3.6), podemos escrever:

$$\begin{cases} \mathbf{f}_\infty - \mathbf{f}_{n_1} = k 10^{-n_1 p_U} \\ \mathbf{f}_\infty - \mathbf{f}_{n_2} = k 10^{-n_2 p_U} \\ \mathbf{f}_\infty - \mathbf{f}_{n_3} = k 10^{-n_3 p_U} \end{cases} \quad (3.7)$$

Supondo que:

$$\Delta n = n_2 - n_1 = n_3 - n_2 \quad (3.8)$$

Do sistema de equações (3.7), tem-se:

$$p_U = \frac{\log(\mathbf{y})}{\Delta n} \quad (3.9)$$

onde:

$$\mathbf{y} = \frac{\mathbf{f}_{n_2} - \mathbf{f}_{n_1}}{\mathbf{f}_{n_3} - \mathbf{f}_{n_2}} \quad (3.10)$$

### 3.2.2 Dedução do estimador *empírico*

Do sistema de equações (3.7), tem-se que:

$$\mathbf{f}_\infty = \mathbf{f}_{n_3} + \frac{(\mathbf{f}_{n_3} - \mathbf{f}_{n_2})}{(\mathbf{y} - 1)} \quad (3.11)$$

Substituindo este resultado na Eq. (3.5):

$$U(\mathbf{f}_{n_3}) = \frac{(\mathbf{f}_{n_3} - \mathbf{f}_{n_2})}{(\mathbf{y} - 1)} \quad (3.12)$$

Sendo esta a expressão fornecida para a estimativa do erro de iteração na iteração  $n_3$ , através do estimador *empírico*. Marchi e Silva (2002) demonstraram que estimativas de erro baseadas em equações semelhantes à Eq. (3.6) ou (3.12) são válidas apenas para  $\mathbf{y} > 1$  ou  $p_U > 0$ . Quando a ordem aparente ( $p_U$ ) apresenta valores negativos a utilização do estimador *empírico* não faz sentido, pois o princípio deste estimador está no comportamento exponencial apresentado pelo erro de iteração, Eq. (3.6), e ao se considerar  $p_U < 0$ , a magnitude da estimativa do erro aumenta com o número de iterações. Isto é, este estimador é válido apenas para valores das ordens assintótica ( $p_L$ ) e aparente ( $p_U$ ) maiores do que zero, ou seja,  $(p_L, p_U) > 0$ . O argumento para justificar o uso de ordens positivas é o seguinte: considere-se  $p_U < 0$  sobre a Eq. (3.6), isto implica que

$$U(\mathbf{f}_n) = k 10^{|p_U|} \quad (3.13)$$

A partir da Eq. (3.13), verifica-se que ao se aumentar o número de iterações ( $n$ ), a incerteza aumenta. Este resultado é oposto ao esperado para o comportamento do erro de iteração.

Ao se considerar  $k$  como sendo um coeficiente constante na Eq. (3.6), ou seja, independente de  $n$ , tem-se algumas implicações, pois  $k$  desempenha o mesmo papel de  $C$  na Eq. (3.2). Este fato faz com que na maioria das aplicações, a incerteza obtida através desta estimativa seja diferente do erro de iteração; o quanto diferente vai depender da complexidade de cada problema e do número de iterações ( $n$ ) a ser utilizada.

### 3.3 O ESTIMADOR EMPÍRICO E O ESTIMADOR *FP*

Para os casos em que  $A$  possui autovalor dominante real, tem-se algumas relações entre este estimador e o estimador de Ferziger e Peric (*FP*), apresentado na seção 2.3.2. Pelo estimador *FP*, para autovalor dominante real e iterações  $n_1$ ,  $n_2$  e  $n_3$ , com  $n_1 < n_2 < n_3$ , tem-se:

$$U(\mathbf{f}_{n_2}) = \frac{(\mathbf{f}_{n_2} - \mathbf{f}_{n_3})}{(\mathbf{m}_{1,n_2} - 1)} \quad (3.14)$$

onde,  $\mathbf{m}_{1,n_2}$  indica o autovalor dominante para matriz iterativa  $A$  na iteração  $n_2$ , que é dado por:

$$\mathbf{m}_{1,n_2} = \frac{(\mathbf{f}_{n_3} - \mathbf{f}_{n_2})}{(\mathbf{f}_{n_2} - \mathbf{f}_{n_1})} \quad (3.15)$$

Comparando as Eqs. (3.15) e (3.10), pode-se concluir que:

$$\mathbf{Y}_{n_3} = \frac{1}{\mathbf{m}_{1,n_2}} \quad (3.16)$$

Ou seja, o parâmetro  $\mathbf{y}$ , adotado na formulação do estimador *empírico*, é o inverso do autovalor dominante ( $\mathbf{m}$ ) considerado por Ferziger e Peric (1996) no cálculo da estimativa do erro de iteração; no entanto, não considerados em uma mesma iteração. Isto é, como estes parâmetros são atualizados a cada iteração,  $\mathbf{y}$  é o inverso de  $\mathbf{m}$  em uma iteração anterior.

### 3.4 O ESTIMADOR EMPÍRICO E O ESTIMADOR DELTA

Para as iterações  $n_2$  e  $n_3$ , com  $n_2 < n_3$ , a variação do erro ( $\Delta E$ ) pode ser analisada através do valor absoluto da diferença entre os erros em cada iteração (Roache, 1982):

$$\Delta E = |E(\mathbf{f}_{n_3}) - E(\mathbf{f}_{n_2})| \quad (3.17)$$

Conforme definido no capítulo 1, Eq. (1.2), o erro iterativo é dado pela diferença entre a solução exata  $\Phi$  e a solução numérica na iteração corrente  $(\mathbf{f}_n)$ . Portanto, a Eq. (3.17) pode ser reescrita por

$$\Delta E = \left| (\Phi - \mathbf{f}_{n_3}) - (\Phi - \mathbf{f}_{n_2}) \right| \quad (3.18)$$

o que resulta em

$$\Delta E = \left| \mathbf{f}_{n_2} - \mathbf{f}_{n_3} \right| \quad (3.19)$$

Portanto, analisar a variação do erro é equivalente a se analisar a variação da solução numérica nas respectivas iterações. Então, a incerteza calculada através do estimador *Delta*, Eq. (2.14), está diretamente relacionada à variação do erro entre duas iterações.

O cálculo da incerteza numérica utilizando o estimador *Delta* ( $U_\Delta$ ) usa soluções numéricas obtidas em duas iterações, não levando em conta a razão de convergência ( $y$ ) envolvida na formulação do estimador *empírico*. Uma relação facilmente verificável é que a magnitude do estimador *empírico* coincide com o resultado do estimador *Delta* para o caso em que  $y = 2$ , ou seja:

$$\left| U(\mathbf{f}_{n_3}) \right| = \left| \frac{\mathbf{f}_{n_3} - \mathbf{f}_{n_2}}{y - 1} \right| = \left| \frac{\mathbf{f}_{n_3} - \mathbf{f}_{n_2}}{2 - 1} \right| = \left| \mathbf{f}_{n_3} - \mathbf{f}_{n_2} \right| \quad (3.20)$$

### 3.5 O ESTIMADOR EMPÍRICO E O ESTIMADOR RB

Na seção 2.3.4 foi apresentado o estimador de Roy e Blottner (RB). Considerando-se  $n_1 < n_2 < n_3$ , a incerteza de iteração na iteração  $n_2$ , ( $U(\mathbf{f}_{n_2})$ ), obtida através do estimador RB é dada por:

$$U(\mathbf{f}_{n_2}) = -\frac{\mathbf{f}_{n_3} - \mathbf{f}_{n_2}}{1 - \mathbf{v}_{n_2}} = \frac{\mathbf{f}_{n_3} - \mathbf{f}_{n_2}}{\mathbf{v}_{n_2} - 1} \quad (3.21)$$

onde:

$$\mathbf{v}_{n_2} = \frac{\mathbf{f}_{n_3} - \mathbf{f}_{n_2}}{\mathbf{f}_{n_2} - \mathbf{f}_{n_1}} \quad (3.22)$$

Para se obter uma estimativa de erro utilizando-se o estimador *RB*, necessita-se da solução numérica da variável de interesse em três iterações sucessivas. Sendo que, somente é possível obter a incerteza na iteração intermediária, ou seja, obtém-se  $U(\mathbf{f}_{n_2})$  a partir dos resultados de  $\mathbf{f}_{n_1}$ ,  $\mathbf{f}_{n_2}$  e  $\mathbf{f}_{n_3}$ .

Através do estimador *empírico* a estimativa do erro, dada pela Eq. (3.12), também necessita da solução numérica da variável de interesse em três iterações sucessivas. Portanto,  $U(\mathbf{f}_{n_2})$  através do estimador *RB* é equivalente a  $U(\mathbf{f}_{n_3})$  pelo estimador *empírico*, a menos dos parâmetros envolvidos:  $\mathbf{v}$  e  $\mathbf{y}$ .

Com relação a  $\mathbf{v}$  e  $\mathbf{y}$ , comparando as equações (3.10) e (3.22), pode-se concluir que:

$$\mathbf{y}_{n_3} = \frac{1}{\mathbf{v}_{n_2}} \quad (3.23)$$

Ou seja, o parâmetro  $\mathbf{y}$ , adotado na formulação do estimador *empírico*, é o inverso de  $\mathbf{v}$  considerado por Roy e Blottner no cálculo da estimativa do erro de iteração; no entanto, não considerados em uma mesma iteração. Isto é, como estes parâmetros são atualizados a cada iteração,  $\mathbf{y}$  é o inverso de  $\mathbf{v}$  em uma iteração anterior.

### 3.6 PREVISÃO DA CONFIABILIDADE DO RESULTADO OBTIDO PELO ESTIMADOR DE ERRO

Propõe-se, aqui, prever as características da estimativa de erro na iteração  $n_3$  através dos resultados numéricos de  $\mathbf{f}_{n_1}$ ,  $\mathbf{f}_{n_2}$ ,  $\mathbf{f}_{n_3}$ ,  $\mathbf{f}_{n_4}$  e pela solução extrapolada  $\mathbf{f}_{p_U}$ , onde:

$$\mathbf{f}_{p_U} = \frac{(\mathbf{f}_{n_3} - \mathbf{f}_{n_2})}{\mathbf{y}} + \mathbf{f}_{n_3} \quad (3.24)$$

$$\mathbf{y} = \frac{\mathbf{f}_{n_2} - \mathbf{f}_{n_1}}{\mathbf{f}_{n_3} - \mathbf{f}_{n_2}} \quad (3.25)$$

com  $n_1 < n_2 < n_3 < n_4$ .

A principal hipótese adotada é que o comportamento de  $\mathbf{f}_{n_4}$  com relação a  $\mathbf{f}_{p_U}$  se repete a cada nova extrapolação até o limite de  $n \rightarrow \infty$ , onde  $n$  representa o número de iterações. São considerados três intervalos:

### 3.6.1 Intervalo I

Conforme a Fig. 3.2, se a solução numérica  $\mathbf{f}_{n_4}$  estiver entre a solução numérica  $\mathbf{f}_{n_3}$  e a solução extrapolada  $\mathbf{f}_{p_U}$ , então espera-se que a estimativa de erro na iteração  $n_3$  seja confiável, isto é,

$$\left( \frac{\mathbf{f}_{p_U} - \mathbf{f}_{n_3}}{\mathbf{f}_{n_4} - \mathbf{f}_{n_3}} \right) > 1 \Rightarrow \frac{U(\mathbf{f}_{n_3})}{E(\mathbf{f}_{n_3})} > 1 \quad (3.26)$$

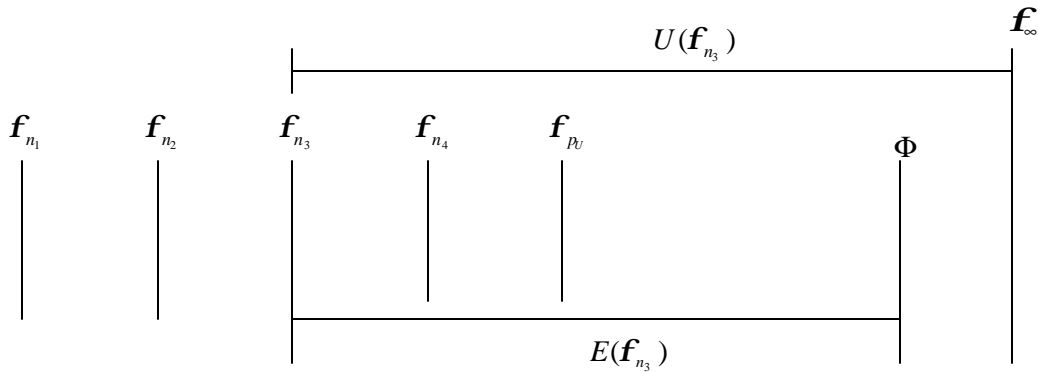


Figura 3.2 Comportamento de  $\mathbf{f}_{n_4}$  com relação a  $\mathbf{f}_{p_U}$  para o Intervalo I.

### 3.6.2 Intervalo II

Conforme a Fig. 3.3, se a solução extrapolada  $\mathbf{f}_{p_U}$  estiver entre a solução numérica  $\mathbf{f}_{n_3}$  e a solução numérica  $\mathbf{f}_{n_4}$ , então espera-se que a estimativa de erro na iteração  $n_3$  não seja confiável, isto é,

$$0 < \left( \frac{\mathbf{f}_{p_U} - \mathbf{f}_{n_3}}{\mathbf{f}_{n_4} - \mathbf{f}_{n_3}} \right) < 1 \Rightarrow 0 < \frac{U(\mathbf{f}_{n_3})}{E(\mathbf{f}_{n_3})} < 1 \quad (3.27)$$

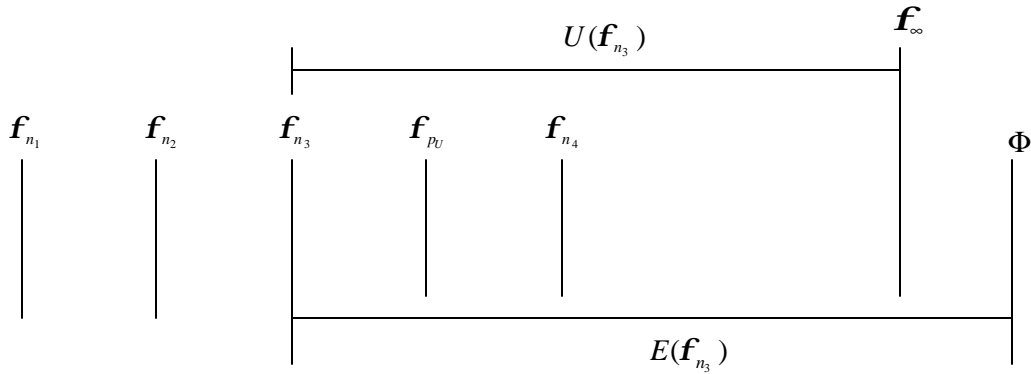
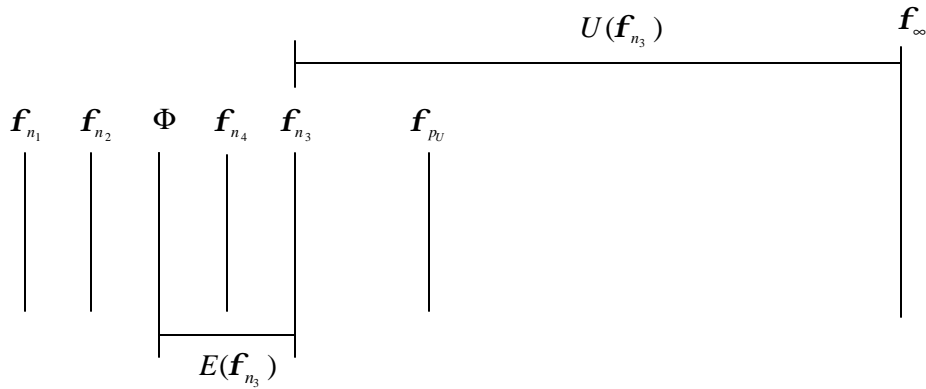


Figura 3.3 Comportamento de  $\mathbf{f}_{n_4}$  com relação a  $\mathbf{f}_{p_U}$  para o Intervalo II.

### 3.6.3 Intervalo III

Conforme Fig. 3.4, se a solução numérica  $\mathbf{f}_{n_3}$  estiver entre a solução numérica  $\mathbf{f}_{n_4}$  e a solução extrapolada  $\mathbf{f}_{p_U}$ , então espera-se que a estimativa de erro na iteração  $n_3$  tenha sinal oposto ao erro; constitui-se na pior previsão de erro:

$$\left( \frac{\mathbf{f}_{p_U} - \mathbf{f}_{n_3}}{\mathbf{f}_{n_4} - \mathbf{f}_{n_3}} \right) < 0 \Rightarrow \frac{U(\mathbf{f}_{n_3})}{E(\mathbf{f}_{n_3})} < 0 \quad (3.28)$$

Figura 3.4 Comportamento de  $f_{n_4}$  com relação a  $f_{p_U}$  para o Intervalo III.

Este método de previsão (intervalos I a III) só pode ser aplicado se a razão de convergência ( $\mathbf{y}$ ) for maior do que 1, o que implica no fato de ( $p_U$ ) existir e assumir valores positivos. A análise dos resultados ao se aplicar este método é feita através de um gráfico de confiabilidade (Fig. 3.5), utilizando-se os seguintes critérios:

- $0 \Rightarrow$  o método não se aplica ( $p_U$  não existe ou  $p_U < 0$ ).
- $1 \Rightarrow$  o método se aplica e sua previsão é correta, conforme os intervalos I, II e III.
- $-1 \Rightarrow$  o método se aplica e sua previsão é incorreta.

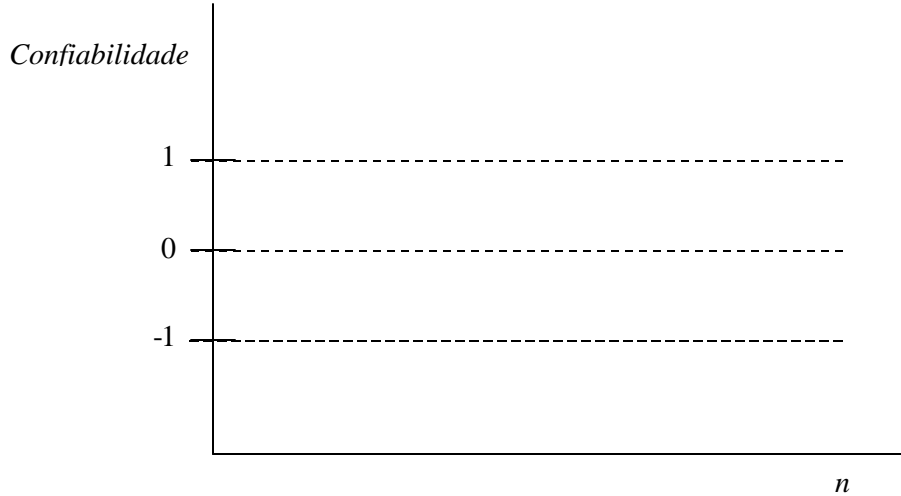


Figura 3.5 Gráfico de confiabilidade do método de previsão.

Aplicações de gráficos de confiabilidade são apresentadas nos próximos capítulos.

### 3.7 CONSIDERAÇÕES FINAIS

Conforme visto neste capítulo, existem relações diretas entre os estimadores de erro de iteração *empírico*, *delta*, *Ferziger e Peric*, e *Roy e Blotner*. Portanto, as análises feitas neste trabalho se concentram apenas no estimador *empírico*.